Литература

- 1. **Жданов Г. С.** О скорости углеводородного загрязнения объектов в микрозондовых системах // Поверхность. 1983. № 1. С. 65—72.
- 2. **Postek M. T.** An approach to the reduction of hydrocarbon contamination in the scanning electron microscope // Scanning. 1996. V. 18. N 4. P. 269—274.
- 3. **Tortonese M., Guan Y., Prochazka J.** NIST-traceable calibration of CD-SEM magnification using a 100 nm pitch standard // Proc. SPIE. 2003. V. 5038. P. 711—718.
- 4. **Гавриленко В. П. и др.** Влияние контаминации в РЭМ на профиль рельефных элементов нанометрового диапазона // Нано- и микросистемная техника. 2011. № 2. С. 2—6.
- 5. **Novikov Yu. A. e. a.** Method for linear measurements in the nanometre range // Meas. Sci. Technol. 2008. V. 18. N 2. P. 367—374.
- 6. **Reimer L.** Transmission electron microscopy: Physics of image formation and microanalysis. N.Y.: Springer, 1997. P. 492.
- 7. Silvis-Cividjan N., Hagen C.W., Kruit P. Spatial resolution limits in electron-beam-induced deposition // J. Appl. Phys. 2005. V. 98. P. 084905-1—084905-12.

Дата принятия 13.11.2012 г.

ЛИНЕЙНЫЕ И УГЛОВЫЕ ИЗМЕРЕНИЯ

681.586.787

Новое поколение высокоточных цифровых преобразователей угла

В. Д. АКСЕНЕНКО, О. К. ЕПИФАНОВ

ОАО «Концерн «ЦНИИ «Электроприбор», С.-Петербург, Россия, e-mail: amolochnikov@eprib.ru

Представлены результаты работ по повышению точности, технологичности и информационной надежности цифровых преобразователей угла. Приведены их структуры, особенности синусно-косинусных датчиков угла и принципы обработки информации при самокалибровке. Описаны конструкция и основные характеристики датчиков угла.

Ключевые слова: синусно-косинусный вращающийся трансформатор, многополюсный вращающийся трансформатор, цифровой преобразователь угла, самокалибровка.

The results of works on improvement of accuracy, manufacturability and informational reliability of digital angle converters are presented. Their structures and features of the sine-cosine angle sensors and the principles of data processing at self-calibration are given. Design and main specifications of angle sensors are described.

Key words: sine-cosine rotating transformer, multipolar rotating transformer, digital angle converter, self-calibration.

В системах, работающих в жестких эксплуатационных условиях, угол преобразуется в код, как правило, следящими преобразователями на основе синусно-косинусных датчиков угла (ДУ). Такие преобразователи относятся к преобразователям абсолютного типа: сигналы синусно-косинусных ДУ содержат полную информацию об угловом положении вала, которая в цифровом виде отображается на выходе преобразователя. Несмотря на более чем 50-летнюю историю развития преобразователей этого типа, повышение их точности и технологичности до сих пор остается актуальной задачей и регулярно освещается в отечественной и зарубежной печати [1—4].

Преобразователи данного типа работают на основе отношения сигналов и позволяют использовать ДУ и электронную часть преобразователя на значительных расстояниях. Это их достоинство, поскольку устойчивость ДУ к внешним воздействиям значительно выше, чем электрон-

ной части, особенно если применяются ДУ электромашинного типа (синусно-косинусные трансформаторы, редуктосины и т. п.) [5].

Индукционные ДУ типа синусно-косинусных вращающихся трансформаторов (СКВТ) представляют собой электрические машины с одной или двумя обмотками возбуждения на роторе и двумя обмотками (синусной и косинусной) на статоре. По принципу действия это трансформаторы, у которых взаимоиндукция между обмоткой возбуждения и выходными обмотками зависит от их пространственного расположения и изменяется согласно функции соответственно синуса и косинуса угла поворота ротора относительно статора. Закон изменения взаимоиндукции определяется распределением обмоток, уложенных в пазах ротора и статора. У двухполюсных СКВТ в пространстве формируется одна пара полюсов и выходные напряжения изменяются пропорционально синусу и косинусу угла поворота, а у многополюсных

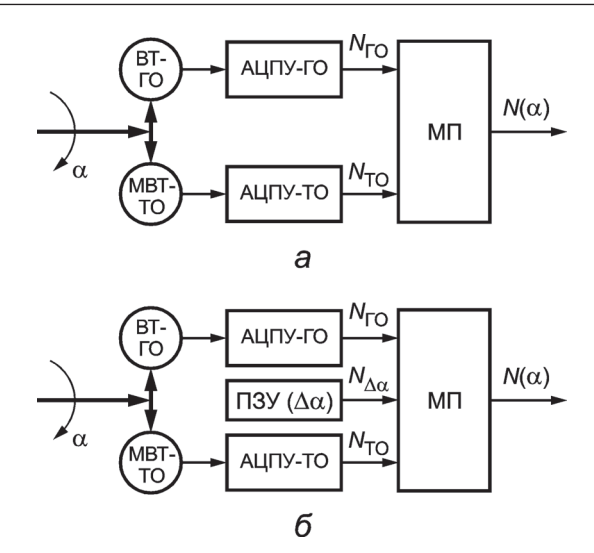


Рис. 1. Двухотсчетный преобразователь угла в код (a) и с коррекцией кода угла (δ):

ВТ-ГО, *МВТ-ТО* — двух- и многополюсный вращающиеся трансформаторы каналов грубого и точного отсчетов, соответственно; $A U \Gamma V$ - ΓO , $A U \Gamma V$ - ΓO — аналого-цифровые преобразователи каналов грубого и точного отсчетов; $\Gamma A V$ — постоянное запоминающее устройство; $M \Gamma$ — микропроцессор; $N_{\Gamma O}$, N_{TO} — коды угла грубого и точного отсчетов

вращающихся трансформаторов (МВТ) — p пар полюсов и выходные напряжения изменяются p раз пропорционально синусу и косинусу угла при повороте ротора на один оборот (p — коэффициент электрической редукции (КЭР), как правило, $p = 2^n$).

Для повышения точности цифровые преобразователи угла (ЦПУ) строят по двухотсчетной схеме (рис. 1). Они состоят из двух- и многополюсного вращающихся трансформаторов BT- Γ O, MBT-TO каналов грубого (Γ O) и точного (Γ O) отсчетов, соответственно, и аналого-цифровых преобразователей AД Π У- Γ O, AД Π У-TO их сигналов в коды грубого $N_{\Gamma O}$ и точного N_{TO} отсчетов. Из $N_{\Gamma O}$, N_{TO} в микропроцессоре MП формируется выходной код угла разрядностью m+n, в котором младшие m разрядов определяются кодом N_{TO} , а старшие n— кодом N_{TO} , причем младший из n уточняется по значению перекрывающихся разрядов $N_{\Gamma O}$ и N_{TO} .

Погрешность ЦПУ определяется суммарной погрешностью МВТ и электронного преобразователя. К погрешности МВТ, которую при современном уровне технологии не удается обеспечить ниже 5 — 10", добавляется 1 — 3" погрешности преобразования его сигналов в код.

Распространенный способ повышения точности ЦПУ — их калибровка. При калибровке ДУ устанавливают на измерительный стенд и сравнительным методом определяют погрешность в нескольких равномерно изменяемых угловых положениях [6]. Полученные значения $\Delta\alpha$ записываются в виде таблицы, например, в постоянное запоминающее устройство $\Pi 3Y$ (см. рис. 1, δ). Систематическая погрешность, найденная при калибровке и зафиксированная в виде полинома, градуировочной кривой или таблицы поправок, в дальнейшем используется для коррекции выходной информации. Для коррекции выходного кода $N(\alpha)$ преобразователя в угловых положениях, отличающихся от тестированных, используют метод ступенчатой или линейной интерполяции.

Богатый спектральный состав и присутствие в погрешности гармоник высокого порядка требуют проведения измерений в большом числе угловых положений (до нескольких тысяч на обороте). Калибровка должна проводиться с высокой точностью на уникальном оборудовании, что повышает трудоемкость и стоимость этой операции. При указанных недостатках такой подход не обеспечивает эффективной компенсации погрешности по ряду причин.

Условия эксплуатации ЦПУ существенно отличаются от стендовых: ДУ устанавливают на другое посадочное место и подключают к электронике другими кабелями. На работу ЦПУ оказывают влияние элементы конструкции и соседние устройства, в результате его погрешность отличается от определенной при калибровке. Калибровка ЦПУ по традиционной методике в условиях эксплуатации невозможна, как правило, из-за конструктивных ограничений объекта и отсутствия подходящих эталонов угла, обеспечивающих тысячи угловых положений с необходимой точностью.

Погрешность ЦПУ изменяется в зависимости от условий эксплуатации в результате микроперемещений и деформации конструктивных элементов ДУ, изменения утечек и паразитных связей в трактах передачи сигналов. Изменение параметров погрешности происходит также с течением времени при износе трущихся частей конструкции и старении материалов, использованных в электронике и линиях связи. Таким образом, зависимость погрешности ЦПУ от места, условий и времени эксплуатации делает невозможным обеспечение точности преобразования путем его однократной калибровки в стендовых условиях.

Двух- и многополюсный СКВТ существенно различаются конструкцией и технологией производства. Первые, как правило, выполняют с распределенными обмотками на шихтованном магнитопроводе, в то время как МВТ целесообразно изготавливать, особенно в условиях мелкосерийного и единичного производства, на сплошных магнитопроводах с сосредоточенными обмотками. Конструктивная неоднородность создает определенные трудности для их совмещения в единой конструкции двухотсчетного ДУ, преимущественно для встраиваемых бескорпусных исполнений (без собственных подшипников) с большим диаметром вала.

Перечисленные недостатки в значительной мере преодолены в новом поколении ЦПУ, разработанных в ОАО «Концерн «ЦНИИ «Электроприбор». Был применен мехатронный подход, заключающийся в системной интеграции электромеханической и электронных частей, создании структуры с информационной избыточностью и ее использовании при обработке информации средствами вычислительной техники. Новая структура ЦПУ и алгоритмы обработки сигналов ДУ кроме повышения точности и технологичности обеспечили новые функциональные возможности. Схема одного из указанных ЦПУ приведена на рис. 2, а.

Преобразователи нового поколения также строят по двухотсчетной схеме, и они содержат два идентичных канала, включающих МВТ и электронный преобразователь сигналов ДУ в код угла. Коэффициенты электрической редукции МВТ в каналах выбирают отличающимися на единицу, т. е. $p_1 = 2^n$, $p_2 = 2^n - 1$, что позволяет по разности кодов первого N_{TO1} и второго N_{TO2} каналов сформировать код грубого отсчета $N_{\text{FO}} = N_{\text{TO1}} - N_{\text{TO2}}$. Такой подход к формированию грубого отсчета известен и, в основном, применялся ранее в системах на основе ДУ типа Inductosin [7]. Далее на основе пар кодов N_{FO} , N_{TO1} и N_{FO} , N_{TO2} в цифровом сигнальном процес-

соре (ЦСП) формируются два выходных кода угла разрядностью m+n, в каждом из которых старшие n разрядов определяются кодом $N_{\Gamma O}$, а младшие m разрядов — кодом соответствующего канала N_{TO1} и N_{TO2} .

В новой структуре при тех же аппаратных затратах формируется не одна, а две независимые оценки угла, совместная обработка которых в ЦСП позволяет реализовать самокалибровку и самоконтроль преобразователя. Необходимым условием метода самокалибровки, используемого в рассматриваемом ЦПУ, является различие зависимостей погрешности от угла в первом и втором каналах.

В общем случае коды оценки угла на выходе первого и второго каналов соответственно имеют вид

$$N_1(\alpha) = k\alpha + \Delta N_1(\alpha); N_2(\alpha) = k\alpha + \Delta N_2(\alpha),$$

где k — коэффициент пропорциональности; α — угловое положение вала; $\Delta N_1(\alpha)$, $\Delta N_2(\alpha)$ — погрешности преобразования первого и второго каналов.

Использовав информационную избыточность, можно сравнить полученные оценки и получить для любого i-го углового положения разность погрешностей каналов ΔN_i (α_i) = ΔN_{1i} (α_i) – ΔN_{2i} (α_i).

Если каналы имеют разные погрешности, то из полученных ΔN_i (α_i) можно выделить погрешности $\Delta N_1^*(\alpha)$, $\Delta N_2^*(\alpha)$ преобразования первого и второго каналов и уточнить коды N_1 , N_2 оценки угла методом исключения из них соответствующих оценок погрешности

$$N_1^*(\alpha) = k\alpha + \Delta N_1(\alpha) - \Delta N_1^*(\alpha); \ N_2^*(\alpha) = k\alpha + \Delta N_2(\alpha) - \Delta N_2^*(\alpha).$$

Самоконтроль ЦПУ обеспечивает не только контроль правильности функционирования, но и контроль сохранения точности преобразования с заданным допуском ε . Самоконтроль проводится путем вычисления разности кодов каналов после коррекции их погрешности ΔN^* =

$$=\left(\Delta N_1 - \Delta N_1^\star\right) - \left(\Delta N_2 - \Delta N_2^\star\right)$$
 и ее сравнения с ϵ . Если полу-

ченная разность не укладывается в допуск, т. е. $|\Delta N^*| > \epsilon$ при каких-либо угловых положениях в пределах полного оборота, то это означает, что погрешность каналов изменилась и код угла не может быть скорректирован по данным, полученным в результате проведенной калибровки. В таком случае сигнал $S(N_1-N_2)$ информирует о необходимости повторения процесса калибровки, т. е. определения новых значе-

ний
$$\Delta N_1^*, \Delta N_2^*$$
.

Для разделения погрешностей ЦПУ между каналами используют спектральный метод. Теоретические основы данного подхода изложены в [8, 9]. Погрешность ЦПУ на основе МВТ с известным приближением можно описать суммой составляющих, изменяющихся в зависимости от угла по синусоидальному закону с различной кратностью аргумента. Гармонический состав погрешности определяется конструкцией ДУ и электронных преобразователей и физическими процессами, происходящими в них при преобразовании угла в код. Погрешности различных экземпляров ЦПУ одной конструкции имеют одинаковый набор гармонических составляющих, от образца к образцу изменяются только амплитуды и фазы гармоник.

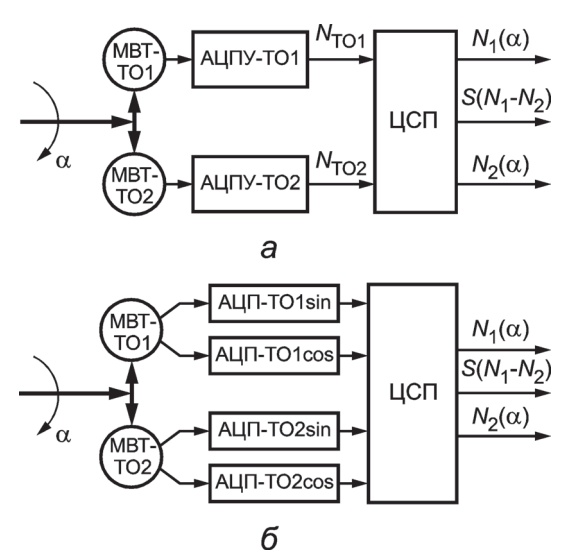


Рис. 2. Двухканальный цифровой преобразователь угла с самокалибровкой и контролем достоверности кода (a) и он же на основе $AU\Pi$ общего назначения (б):

МВТ-ТО1, МВТ-ТО2 — многополюсные вращающиеся трансформаторы каналов точных отсчетов; АЦПУ-ТО1, АЦПУ-ТО2 — аналого-цифровые преобразователи каналов точных отсчетов; ЦСП — цифровой сигнальный процессор

Погрешность преобразователя можно представить как

$$\Delta \alpha = \sum_{j} v_{j} \sin(j\alpha + \psi_{j}) + \sum_{i} v_{i} \sin(ip\alpha + \phi_{i}), \tag{1}$$

где α — угол поворота ротора ДУ; p — коэффициент редукции ДУ; i,j — целые числа \mathbf{v}_j , \mathbf{v}_i и $\mathbf{\psi}_j$, $\mathbf{\phi}_i$ — амплитуды и фазы гармоник.

Первая сумма в (1), называемая длиннопериодной погрешностью, определяется неидеальностью изготовления и установки поверхностей статора и ротора ДУ, образующих воздушный зазор. Значительные амплитуды имеют гармоники погрешности с j = 1; 2.

Вторая сумма — внутрипериодная погрешность — доминирует по величине и содержит гармонические составляющие, зависящие от угла α в функции $ip\alpha$. Существенные амплитуды гармоник обусловлены: паразитными связями между трактом возбуждения и трактами прохождения выходных сигналов в ДУ, электронном преобразователе и в линиях связей между ними при i=1; асимметрией синусного и косинусного трактов ДУ и электронного преобразователя при i=2; несинусоидальностью зависимости амплитуды выходных сигналов ДУ от угла поворота при i=4; 8; 12; 16 [10].

В каналах с различными коэффициентами редукции $p_1, p_2,$ имеющими погрешность

$$\begin{split} \Delta \alpha_1 &= \sum_j \mathbf{v}_j \sin(j\alpha + \mathbf{\psi}_j) + \sum_i \mathbf{v}_i \sin(ip_1\alpha + \mathbf{\phi}_i); \\ \Delta \alpha_2 &= \sum_j \mathbf{\mu}_j \sin(j\alpha + \mathbf{\Psi}_j) + \sum_i \mathbf{\mu}_i \sin(ip_2\alpha + \mathbf{\Phi}_i), \end{split}$$

разностная погрешность каналов

$$\begin{split} \Delta \pmb{\alpha} &= \Delta \pmb{\alpha}_1 - \Delta \pmb{\alpha}_2 = \sum_j \Big[\mathbf{v}_j \sin(j \pmb{\alpha} + \pmb{\psi}_j) - \mathbf{\mu}_j \sin(j \pmb{\alpha} + \pmb{\Psi}_j) \Big] + \\ &+ \sum_j \Big[\mathbf{v}_i \sin(i p_1 \pmb{\alpha} + \mathbf{\phi}_i) - \mathbf{\mu}_i \sin(i p_2 \pmb{\alpha} + \pmb{\Phi}_i) \Big]. \end{split}$$

При определенном выборе p_1 , p_2 , в частности при $p_2 = p_1 - 1$, можно обеспечить $ip_1 \neq ip_2$ для всех учитываемых i. Тогда, измерив $\Delta \mathbf{\alpha}$ в M угловых положениях, распределенных равномерно в пределах оборота, можно при помощи преобразования Фурье определить амплитуды \mathbf{v}_i , $\mathbf{\mu}_i$ и начальные фазы ϕ_i , $\mathbf{\Phi}_i$ гармоник погрешности каждого из каналов [11].

Гармоники длиннопериодной погрешности имеют одинаковый порядок для двух МВТ измерительной системы и не могут быть разделены автоматически по приведенной выше методике. Их определяют отдельно для каждого канала по традиционной методике с применением оптической призмы с небольшим числом граней. Далее информация о длиннопериодной погрешности заносится в память процессора и используется для коррекции кода угла.

При самокалибровке данные автоматически собираются при полном обороте вала. Отсчеты выходных кодов первого и второго каналов учитываются при равенстве кодов одного из каналов расчетным угловым положениям, равномерно распределенным в пределах оборота. Сбор данных с опорой на выходную информацию одного из каналов приводит к неравномерности взятия отсчетов вследствие погрешности данного канала. Ошибка определения параметров погрешности каналов несущественна для точных ДУ (исходная погрешность единицы — десятки угловых секунд). При больших значениях исходной погрешности каналов точность оценки параметров гармоник погрешности понижается и для сохранения эффективности данного подхода требуется применение более сложных методик [12].

Уменьшение влияния неравномерности взятия отсчетов в этих методиках может достигаться итерационно-многократным повторением процедуры калибровки с опорой на выходную информацию одного из каналов, скорректированную по результатам предыдущей итерации. Другой подход заключается в однократном выполнении процедуры калибровки, но с использованием более сложной модели погрешности, учитывающей неравномерность взятия отсчетов [12].

При системных ограничениях на угол поворота вала и невозможности сбора информации в пределах полного оборота самокалибровка проводится по модифицированной методике [13]. Методика включает предварительную (перед спектральным анализом) пространственную фильтрацию массива отсчетов и обеспечивает определение параметров внутрипериодной погрешности каналов при повороте вала в пределах нескольких зон точного отсчета (не менее двух).

Использование мехатронного системного подхода к разработке ЦПУ позволило пересмотреть традиционное распределение погрешностей между ДУ и электронным преобразователем, что дало возможность существенно повысить технологичность ДУ за счет снижения требований к точности их изготовления. От ДУ здесь не требуется максимальной точности, требуется лишь стабильность и повторяемость спектрального состава, а именно пространственной частоты гармоник погрешности. Для преобразователей нового поколения разработан ряд двухотсчетных ДУ с габаритными размерами, позволяющими удовлетворять потребности при различных применениях [14]. Основные параметры ДУ приведены в таблице.

Датчики угла состоят из двух МВТ с КЭР, различающимися на единицу. Принцип построения каждого МВТ основан на получении максимального р. Конструктивно МВТ выполняют плоским на сплошных магнитопроводах из магнитомягкого сплава с прямоугольными пазами равного шага. В пазах ротора размещается сосредоточенная волновая обмотка возбуждения типа «зубец-полюс», а в пазах статора — синусная и косинусная выходные обмотки типа «два зубца-полюс», которые обладают низким относительным значением индуктивности, обеспечивая преобразователю малую чувствительность к электромагнитным помехам. Оба МВТ изготавливают по единой технологии, конструкции их магнитопроводов отличаются лишь числом нарезанных пазов. Сплошные магнитопроводы обеспечивают жесткое объединение ДУ в единой конструкции и стабильность этой конструкции в условиях эксплуатации.

Размеры ДУ могут быть уменьшены (диаметры 50, 35 мм и менее). В этом случае при настоящем уровне технологии невозможно реализовать большое число полюсов и в результате с уменьшением размеров зубцовой зоны резко возрастают погрешности технологического характера. Использование новой структуры ЦПУ и самокалибровки позволяет существенно повысить точность преобразования (рис. 3) и создать на основе малоразмерных ДУ высокоточные ЦПУ для применения в жестких условиях эксплуатации [14].

Наличие в структуре ЦПУ высокопроизводительного процессора разрешает отказаться от использования микросхем специализированных преобразователей сигналов ДУ в код (resolver-to-digital converter), являющихся де-факто промышленным стандартом, но производимых в мире лишь двумя

Основные параметры датчиков угла

Параметр	Датчик угла				
	ДУ-71-3	ДУ-100-63	ДУ-160-100	ДУ-280-205	ДУ-500-400
Коэффициент электрической редукции <i>р</i> для MBT-TO1/MBT-TO2	32/31	64/63	128/127	128/127	128/127
Погрешность преобразования угла, ", не более	± 15	± 10	± 10	± 10	± 15
Габаритные размеры, мм: наружный диаметр статора внутренний диаметр ротора осевая длина	71 40 34	100 63 35	160 100 41	280 205 45	500 405 55
Масса, кг, не более	0,46	0,8	2,7	7,0	35,0

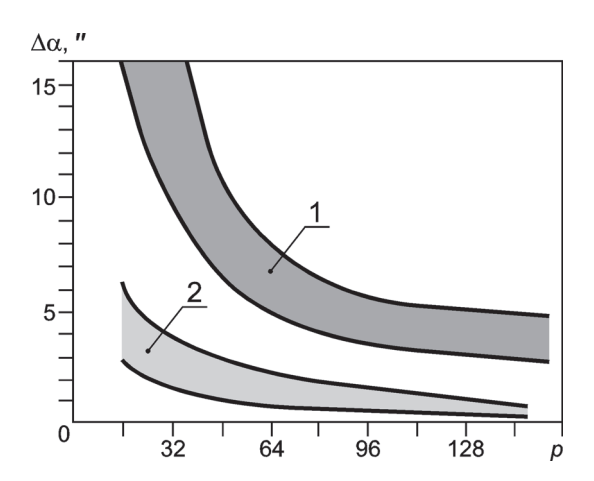


Рис. 3. Погрешность ЦПУ с традиционной (1) и новой (2) структурами в зависимости от коэффициента электрической редукции p

фирмами (Analog Devices Inc., Data Device Corporation). В ЦПУ (рис. 2, 6) синусный и косинусный сигналы ДУ преобразуются в цифровую форму при помощи АЦП общего назначения, а их функциональная обработка и формирование кодов угла осуществляются в ЦСП программно по следящим алгоритмам, аналогичным реализуемым в аппаратных решениях [15]. Структура ЦПУ демонополизирована, поскольку может быть реализована на широко распространенной элементной базе. Она имеет существенные преимущества при миниатюризации аппаратуры электронного преобразователя сигналов ДУ, а также позволяет реализовать ЦПУ на отечественной элементной базе.

Использование мехатронного подхода к проектированию ЦПУ позволило на основе системной интеграции электромеханической и электронных частей разработать новые структуры преобразователя и алгоритмы обработки сигналов ДУ, которые кроме повышения точности и технологичности придали преобразователям новые функциональные возможности, в частности проведение самокалибровки и контроль достоверности вырабатываемой информации. Для преобразователей нового поколения разработана гамма двухотсчетных ДУ с габаритными размерами, обеспечивающими потребности в различных прикладных областях.

Литература

1. Домрачев В. М., Ипполитова Е. В. Двухотсчетные амплитудные цифровые преобразователи угла на базе гибридных микросборок серии 2602 // Измерительная техника. 2011. № 11. С. 16—19; Domrachev V. M., Ippolitova E. V. Dual reading tracking-type amplitude angle digitizer based on series 2602 hybrid microassemblies // Measurement Techniques. 2011. V. 54. N 11. P. 1233—1238.

- 2. **Bergas-Jané J. a. e.** High-Accuracy All-Digital Resolver-to-Digital Conversion // IEEE Trans. Electron. 2012. V. 59. N 1. P. 326—333.
- 3. **Hoseinnezhad R., Bab-Hadiashar A., Harding P.** Calibration of Resolver Sensors in Electromechanical Braking Systems: A Modified Recursive Weighted Least-Squares Approach // IEEE Trans. Electron. 2007. V. 54. N 2. P. 1052—1060.
- 4. **Sarma S., Agrawal V. K., Udupa S.** Software-Based Resolver-to-Digital Conversion Using a DSP // IEEE Trans. Electron. 2008. V. 55. N 1. P. 371—379.
- 5. **Епифанов О. К.** Современные электромеханические устройства безредукторных вентильных электроприводов // «Электропривод с вентильными двигателями»: Докл. науч.практ. семинара. М.: Издат. дом МЭИ, 2007.
- 6. **Vialatte C.** Mesure de déplacement angulaire à $2 \cdot 10^{-6}$ par résolver multipolaire // Rev. Techn. Thomson-CSF. 1983. V. 15. N 2. P. 559—576.
- 7. **Analog-Digital** Conversion Handbook / Ed. D. H. Sheingold. Englewood Cliffs (USA): Prentice-Hall, 1986.
- 8. Сафонов Л. Н. Измерители перемещений на основе двух разнополюсных датчиков // Измерительная техника. 1985. № 11. С. 12—13; Safonov L. N. Displacement meters based on two different sensors // Measurement Techniques. 1985. V. 28. N 11. P. 922—924.
- 9. Смирнов В. А. и др. Метод анализа точностных характеристик датчиков угла // Измерительная техника. 1991. № 4. С. 7—8; Smirnov V. A. e. a. A method of analysis of the precision characteristics of angle data transmitters // Measurement Techniques. 1991. V. 34. N 4. P. 322—324.
- 10. **Хрущев В. В.** Электрические микромашины автоматических устройств / Учебн. пособие для вузов. Л.: Энергия,
- 11. Пат. 2235422 РФ. Способ преобразования угла поворота вала в код / В. Д. Аксененко, Д. В. Аксененко // Изобретения. Полезные модели. 2004. № 24.
- 12. **Аксененко В. Д., Матвеев С. И.** Повышение точности автокалибровки преобразователей угол-код // Изв. высш. учеб. заведений. Приборостроение. 2006. Т. 49. № 10. С. 41—46.
- 13. Пат. **2266614 РФ.** Способ преобразования угла поворота вала в код / В. Д. Аксененко, В.М. Зиненко, С. И. Матвеев // Изобретения. Полезные модели. 2005. № 35.
- 14. **Епифанов О. К. и др.** Комплексные решения высокоточного цифрового преобразования угловых перемещений в аппаратуре межотраслевого применения / Труды Всерос. науч.-практ. конф. «Датчики и системы 2006». Пенза: ФНПЦ ФГУП «НИИ физических измерений», 2006.
- 15. **Аксененко В. Д., Аксененко Д. В., Матвеев С. И.** Преобразователь угла в код на основе цифрового сигнального процессора // Изв. высш. учеб. заведений. Приборостроение. 2001. Т. 44. № 8. С. 37—42.

Дата принятия 04.05.2012 г.